

معرفی روش‌های جدید مکانیکی برای ارزیابی کمی قدرت چسبندگی بین پوشش و زمینه*

حسن احمدی مقدم^(۱)

چکیده در این تحقیق، روش‌های متفاوت اندازه‌گیری کیفیت (قدرت) چسبندگی برروی انواع نمونه‌های پوشش داده شده آزمایش شده و مشکلات و محدودیت‌های آنها مورد بررسی قرار می‌گیرند. برای برطرف نمودن کاسته‌های هر روش پیشنهادات و طراحی‌های تکمیلی و نیز، روش‌هایی نوین ارائه می‌گردد. در آزمایش برش‌های متقاطع و نوار چسب، کوشش می‌شود به وسیله ایجاد بعضی تغییرات در روش آزمایش، دامنه و یا جدول معیارهای تعیین‌کننده کیفیت را گسترش داده و در صورت امکان آزمایش یاد شده را به یک روش اندازه‌گیری کمی تبدیل نمود. گیره طراحی شده جدیدی برای آزمایش جدایش کششی که می‌تواند بجای چسب برای گرفتن زمینه عمل نماید، طراحی و ساخته شده و مورد آزمایش قرار می‌گیرد. روش آزمایش نوینی برای اندازه‌گیری کمی قدرت چسبندگی، (الهام‌گرفته از آزمایش خراش و براساس ایجاد سایش بالا و قفل مکانیکی) تحت نام جدایش سایشی به اجرا گذاشته می‌شود. نتایج بدست آمده از ارتباط زاویه‌های برش و سطوح جدا شده در آزمایش برش‌های متقاطع و نوار چسب، بسیار امیدوار کننده می‌باشند. گیره طراحی شده برای آزمایش جدایش کششی، مواردی چون آسانی عمل، سرعت و دقت را به ارمغان می‌آورد. با بررسی نتایج بدست آمده از آزمایش نوین جدایش سایشی و مقایسه آنها با سایر نتایج، می‌توان این آزمایش را به عنوان یک آزمایش کمی مناسب برای اندازه‌گیری قدرت چسبندگی و نیز، مفید برای انواع پوشش‌ها با زمینه‌های مختلف معرفی نمود.

واژه‌های کلیدی چسبندگی، جدایش، کشش، برش، اصطکاک، قفل مکانیکی، لاپ پوششی.

Introducing Novel Mechanical Methods for Quantitative

Evaluation of Adhesion in Thin Coatings

H. Ahmadi Moghadam

Abstract In this research, attempt is made to introduce new and developed techniques of quantitative methods of adhesion measurements for coated substrates. In the qualitative Cross Cut/Scotch Tape Test, the square lattice cuts have been developed to diamond lattices with different angles. The aim is to find out, if there exists any relationship between the adhesion strength, separated areas of coating and angle of diamond lattices. The Pull-Off Test method is developed by a new design for its employed grips to hold inert substrates mechanically rather than using adhesives. A new quantitative method of measuring adhesion strength is designed and introduced. It is based on creating mechanical interlocking between a rough surface and the coating by vertical loads. This could cause shear separation between the coating and the substrate. Results of different measurements, on many samples, in the above tests are correlative and prosperous.

Keywords Adhesion, Separation, Tensile, Shear, Friction, Mechanical Interlocking, Coating.

* نسخه اولیه مقاله در تاریخ ۸۲/۰۵/۲۶ و نسخه نهایی آن در تاریخ ۸۲/۰۸/۱۰ به دفتر نشریه رسیده است.

(۱) استادیار، پژوهشکده صنایع رنگ ایران، وزارت علوم، تحقیقات و فناوری

برای بررسی و اندازه‌گیری قدرت چسبندگی از روش‌های آزمایشی کیفی و کمی متفاوت متناسب با ماهیت روش پوششده استفاده می‌شود [2,3]. عواملی مانند جنس، نرمی یا سختی، ضخامت لایه پوشش دهنده و زمینه، شرایط و غیره می‌توانند در انتخاب روش آزمایشی نقش داشته باشند.

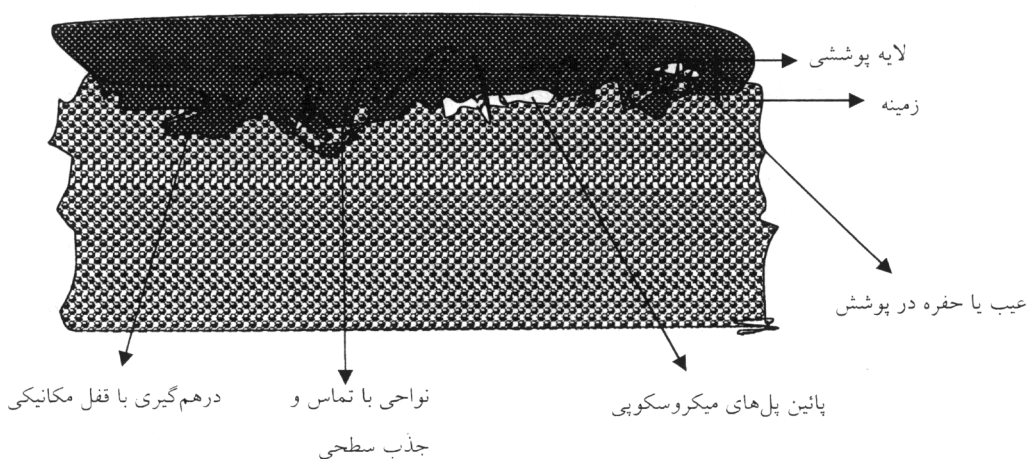
در این تحقیق، نخست روش‌های آزمایشی مختلف برای اندازه‌گیری کیفیت و قدرت چسبندگی پوشش‌ها معرفی می‌شوند و به پاره‌ای موارد مهم در خصوص آن‌ها اشاره می‌گردد. سپس به بررسی روش‌های تکمیل شده یا نوین، با هدف ارزیابی قدرت چسبندگی به‌طور کمی و یا مقایسه‌ای پرداخته می‌شود.

روش برش‌های متقطع و نوار چسب [4]. این آزمایش برای تعیین کیفیت چسبندگی در صنعتی بسیار متدالو ا است. آزمایشی ساده و سریع می‌باشد. کیفیت چسبندگی برپایه نوع و میزان سطح جدایش پوشش از زمینه پس از آزمایش، طبق جدول ارایه شده در استاندارد مربوطه ارزیابی می‌شود؛ شکل (۲). زیادشدن

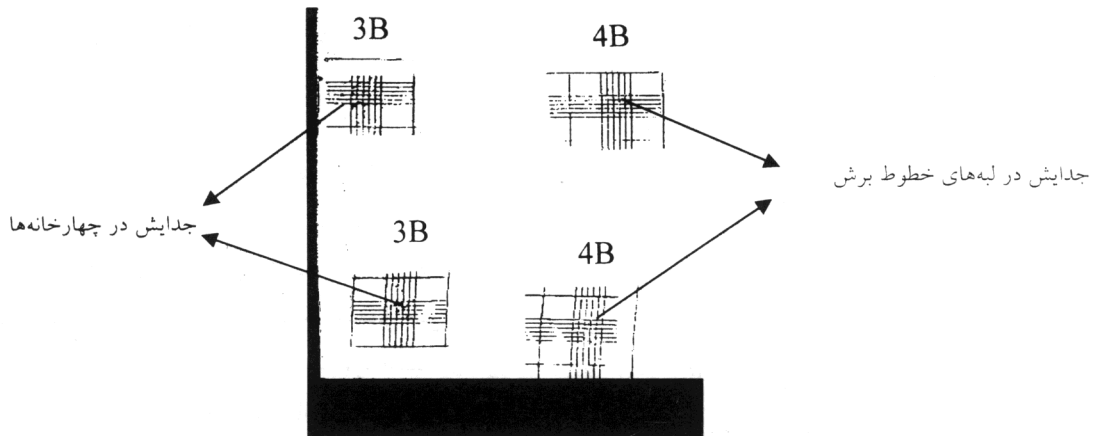
مقدمه

قطعات و ابزار کاربردی با هدف‌هایی چون بالا بردن خواص سطحی، محافظت در برابر عوامل مختلف، ایجاد رنگ‌های مطلوب، و یا به صورت چاپ، پوشش داده می‌شوند. به طور معمول، لایه‌های پوششی توسط مکانیسم‌های مختلف ایجاد چسبندگی، که اساساً به چهار دسته تقسیم می‌شوند، بر روی انواع سطوح قرار می‌گیرند. این مکانیسم‌ها شامل: ۱- جذب سطحی، ۲- نفوذ، ۳- درهم‌گیری یا قفل مکانیکی، شکل (۱) و ۴- الکترواستاتیک می‌باشند [۱].

خواص و کیفیت چسبندگی لایه‌های پوششی به جنس و نوع پوشش و زمینه و شرایط و خواص فیزیکی آن‌ها بستگی دارد. ارزیابی کیفیت و قدرت چسبندگی پوشش و زمینه، به وسیله ابزار مکانیکی مناسب انجام می‌پذیرد. تخریب‌های مکانیکی در سطوح قطعات پوشش دار در حین کاربرد شامل سایش، خراش و جدایش هستند که ممکن است: الف - در فصل مشترک ماده پوشش دهنده با زمینه، ب - در توده ماده پوشش دهنده، ج - در داخل زمینه، و یا د - در چند مکان مختلف، همزمان رخ دهد.



شکل ۱ تصویری از فصل مشترک بخشی از یک قطعه پوشش داده شده

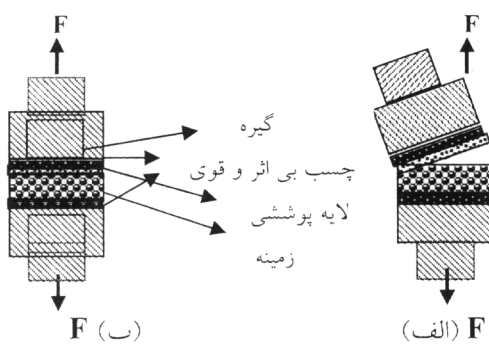


شکل ۲ قسمتی از یک نمونه آزمون شده مربوط به آزمایش برش‌های متقطع و نوار چسب
(زمینه پلی‌اتیلن با پوششی یکنواخت از رزین پایه‌اپوکسی)

۱- انتخاب یک چسب مناسب و به حد کافی قوی و
بی اثر (چه از لحاظ شیمیائی، چه از لحاظ حرارتی) برای
استفاده در چسباندن سطح لایه پوششی و سطح طرف
دیگر، یعنی پشت زمینه، به عوامل کشنده (گیره‌ها) در
دستگاه کشش؛ شکل (۳)، ۲- اطمینان یافتن از

فاصله بین تیغه‌های برش، و به عبارت دیگر افزایش
سطح چارخانه‌ها با ضخامت پوشش در ارتباط
می‌باشد.

به منظور امکان تبدیل نتایج آزمایش فوق از حالت
کیفی به حالت کمی، محقق پیشنهاد می‌نماید، بجای
بریدن لایه‌پوششی در دوجهت عمود برهم، و بدست
آوردن چارخانه‌های مربع شکل، بریدن لایه در زوایای
مختلف انجام شود تا چارخانه‌های مربع شکل به صورت
لوزی‌های منظم درآیند. ازین قرار شاید بتوان ارتباطی
بین کوچکترین زاویه لوزی سطح جدايش و قدرت
چسبندگی پیدا نمود و شرایط تبدیل ماهیت آزمایش یاد
شده را از حالت کیفی به حالت کمی فراهم ساخت.
دیگر روش آزمایش مرتبط در این بررسی، روش
"Roll Test" می‌باشد که در آن بحای نوار چسب از
غلتک‌هایی با شعاع‌های متفاوت استفاده می‌شود [۵].



شکل ۳ آزمایش جدايش کششی

(الف)، نیروهای کششی در یک راستا؛ (ب)، نیروهای غیر منطبق

و منطبق بر محور اصلی گیره‌ها
فرار گرفتن نیروهای کششی در یک راستا و منطبق بر
محور اصلی کشش و جلوگیری از امکان جدا شدن لایه
پوششی از زمینه به حالت لبه‌ای برای انجام این کار نیاز

جدايش کششی. در این روش قدرت چسبندگی بین
دو لایه، مستقیماً به وسیله دستگاه کشش در
مقیاس‌های مختلف اندازه‌گیری می‌شود؛ شکل (۳).
در عین حال مشکلات انجام این روش که در زیر آورده
شده است، مانع از اجرای صحیح و دقیق آن می‌شوند:

خرائش . یکی از آزمایش هایی که اخیراً مورد توجه قرار گرفته آزمایش خراش می باشد. در این آزمایش با استفاده از میله هایی با نوک نیم کره بر سطح لایه پوششی تحت نیروی عمودی فشار وارد می شود، در حالیکه زمینه و پوشش در حرکت می باشند. نیروی عمودی فشار دهنده ای که در اثر آن خراش و سپس لایه برداری پوشش اتفاق می افتد، ثبت می شود. آزمایش دیگری به نام تراش [9] مشابه آزمایش خراش وجود دارد، که برای اندازه گیری قدرت چسبندگی بکار می رود.

Jindol و همکارانش [10]، رابطه زیر را برای ضربه جدایش K_n در فصل مشترک پوشش و زمینه در یک آزمایش جدید براساس ضربه و جدایش ارائه نمودند.

$$K_n = \left(\frac{G_n \cdot E_c}{1 - v_c} \right)^{1/2}$$

که در آن E_c و G_n مدول های کششی و برشی و ضربی پواسون پوشش می باشند.

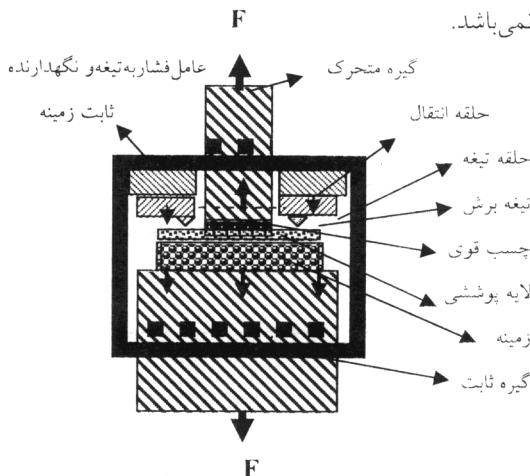
آزمایش جدید ارزیابی قدرت چسبندگی

با الهام از روش آزمایش خراش بجای استفاده از میله های فشار دهنده، از یک قطعه مکعب مستطیل که یک طرف آن نیم استوانه شکل با قطرهای متفاوت $1-10 \text{ mm}$ می باشد، استفاده می شود.

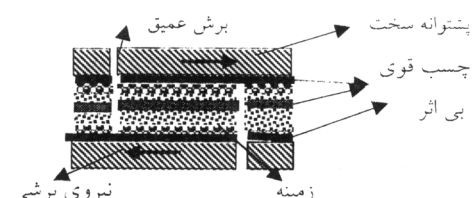
از آنجا که تغییرات انجام شده امکان لایه برداری یا جدا کردن پوشش را مشکل می سازد، بین قطعه فشار دهنده و پوشش، از ورقه های لاستیک چقرمه به منظور ایجاد ضربی اصطکاک بالا و یا، سنباده با گردیده ای متفاوت برای ایجاد قفل مکانیکی و سایش بالا استفاده می شود، و از این به بعد تحت عنوان روش آزمایش جدایش سایشی مورد مراجعه قرار می گیرد،

شکل (۶).

به ابزار مناسب، مانند پروفیل نبشی، و استفاده از آن برای هر آزمایش می باشد. در این تحقیق بنا به پیشنهاد دو مشکل یاد شده، توسط یک طرح تکمیلی محقق مرتفع می شود. درواقع زمینه ای چون پلی اتیلن که خواص خنثی یا غیر قطبی دارد، به حالت مکانیکی به وسیله یک فک طراحی شده، محکم گرفته و به بازوی ساکن دستگاه متصل می شود؛ شکل (۴). همانطور که از این شکل مشهود است دیگر نیازی به ابزار برای در یک امتداد قراردادن نیروی کشش نمی باشد.



شکل ۴ مجموعه فک طراحی شده برای محکم نگهداشتن زمینه جدایش برشی. یکی از مرسوم ترین روش های آزمون اندازه گیری کمی روش قدرت چسبیدگی جدایش برشی می باشد. نمونه های آزمایشی مطابق شکل (۵) تهیه شده و سپس به وسیله دستگاه کشش عمودی یا افقی تحت کشش قرار می گیرند در نتیجه انتظار می رود، پوشش یکی از دو نمونه در اثر اعمال نیروی برشی از زمینه جدا شود.



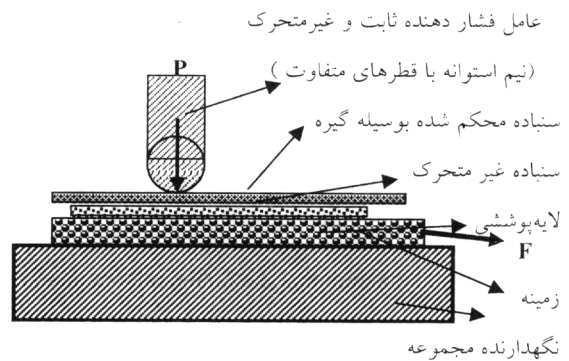
شکل ۵ نمونه آماده شده برای آزمایش جدایش برشی

(بدون ایجاد گشتاور)

[15] UV سخت از ضخامت‌های نازک ۱۲-۳۵ μm استفاده می‌شود.

با توجه به توضیحات بالا و عدم تأثیر مستقیم مواد افزودنی، به غیر از رزین پایه، بر قدرت چسبندگی، نیازی به اندازه گیری اجزاء و یا تعیین فرمولاسیون لایه پوششی نبود بنابراین، برای بالا بردن قدرت چسبندگی لایه پوششی در نمونه‌ها از روش افزودن درصد وزنی رزین پایه (اپوکسی + اکریلیک) [16] به فرمول اولیه لایه پوششی استفاده شد. به این ترتیب، عامل اصلی در تغییرات قدرت چسبندگی مقدار رزین پایه می‌باشد از این‌رو، منحنی‌های نتایج بدست آمده به وسیله دستگاه‌های اندازه گیری براساس تغییرات نسبت مقدار رزین پایه افزوده شده به رزین اولیه ارائه شده‌اند.

برش‌های متقطع پوشش و نوار چسب. با استفاده از اهرم ساخته شده برای این آزمایش که در انتهای آن شش تیغ فولادی به طور موازی به فاصله ۱mm قرار داشتند، بر روی سطوح پوشش دار (نمونه‌های مسطح پلی‌اتیلن با وزن مخصوص بالا)، برش‌هایی یکنواخت چارخانه‌ای مریع و لوزی شکل با زوایای بین 90° -۰ درجه داده شدند. سپس بعد از تمیزکردن لایه‌های جدا شده، به خصوص درکناره‌های خطوط برش، نوار چسب اسکاج بر روی ناحیه بریده شده چسبانده شد و هوا بین آن با فشار انگشت خارج گردید. پس از مدتی تأمل نوار چسب با سرعت زیاد برداشته شد. در حد مساحت نواحی‌ای که لایه پوشش جدا شده بود به ویژه درکناره‌های خطوط برش با جدول موجود در استاندارد [4] مقایسه گردید و میزان کیفیت پوشش مشخص شد. نمونه‌های آزمایشی شکل‌های (۷ و ۲) شامل؛ صفحات پلی‌اتیلن با وزن مخصوص بالا با پوشش اپوکسی رزین،



شکل ۶ فرآیند روش آزمایش ارزیابی قدرت چسبندگی،
جدایش سایشی

برای انجام این آزمایش نیاز به طراحی دستگاه مناسب وقابل تعبیه در دستگاه کشش افقی می‌باشد، که توسط محقق انجام پذیرفت.

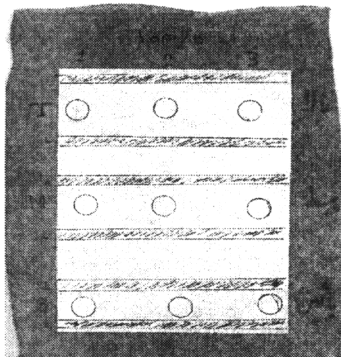
روش تحقیق

ساخت لایه‌های پوششی و اعمال آن بر روی زیرآیندها در امکانات و دستور کار این تحقیق نبودند از این‌رو، نمونه‌های آزمایشی آماده مورد استفاده قرار گرفتند. نمونه‌های مورد نیاز، طبق سفارش محقق در واحد ساخت تهیه شدند. آماده‌سازی سطح نمونه‌های پلی‌اتیلنی قبل از پوشش دهنی به روش شعله دهی گاز طبیعی [11] و عمل پوشش دهنی به روش چاپ اسکرین [12] انجام گرفتند.

لایه پوشش از نوعی مرکب چاپ بدون حلال با ۲۵٪ وزنی دانه‌های رنگی و TiO_2 بودند که توسط نور فرابنفش در مدت حدود ۲/۵ ثانیه سخت [13,14] می‌گردید.

ضخامت لایه پوششی (سخت) در روش اسکرین به طور کلی در محدوده ۱۲-۱۲۵ μm می‌باشد [12]، ولی در نمونه‌های آزمایشی تهیه شده ضخامت آنها ۱۰ μm اندازه گیری شد. عموماً در پوشش‌های (مرکب)

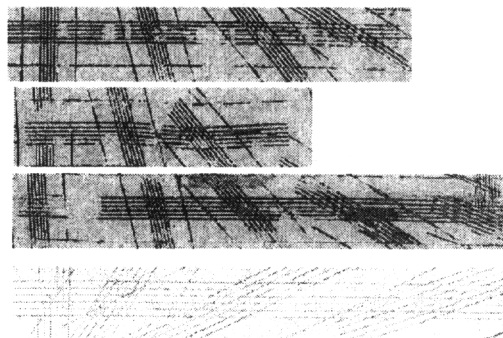
از آنجا که گرمای حاصل از سخت شدن چسب اپوکسی رزین ممکن بود موجب تخریب لایه پوشش دار نمونه‌ها شود، بجای آن از چسب قطره‌ای استفاده گردید. حداقل ۹ عدد از این استوانه‌ها بر روی سطح هر نمونه آزمایشی؛ سه عدد در قسمت بالا، سه عدد در قسمت وسط و سه عدد در قسمت پائین، چسبانده شدند، شکل (۸).



شکل ۸ مکان‌های نمونه‌برداری برای آزمایش جدایش کششی (دایره‌ها) و آزمایش جدایش سایشی (نوارهای هاشورخورده).

بعد از خشک شدن کامل، نمونه پوشش دار یاد شده در اطراف استوانه‌ها تقریباً به قطر 2 cm تک تک برای هر آزمایش در گیره شد و قطعات حاصله، تک تک برای هر آزمایش در گیره طراحی شده قرار گرفته و محکم شدند. مجموعه آماده شده فوق الذکر در دستگاه کشش تعییه گردید، و آزمایش کشش تحت شرایط N_{200} کشش و سرعت نیروی کشش 500 mm/min انجام پذیرفت.

جدایش سایشی. دستگاه کشش افقی تسومتر هونسفیلد برای کشیدن و ایجاد نیروی برشی در فصل مشترک لایه پوششی و زمینه ویا در توده لایه پوششی



کاهش زاویه برش

شکل ۷ نمونه‌های مربوط به آزمایش برش‌های متقطع و نوار چسب

(برش با زاویه‌های متفاوت به منظور گسترش درجه‌بندی نتایج کیفی یا امکان تبدیل نتایج آزمایش از کیفی به کمی)

صفحات فولادی با پوشش اپوکسی - فنل (ورقه‌های قوطی کنسرو) و الکید رزین و غیره بودند. کاغذ گلاسه، فیلم پلی‌اتیلن پلی‌پروپیلن و پی‌وی‌سی با چاپ‌های مختلف هم مورد آزمایش قرار گرفتند.

جدایش کششی. از دستگاه کشش برای جدا نمودن پوشش از زمینه استفاده گردید. برای انجام این کار فک مناسبی برای بازوی ساکن دستگاه طبق طرح پیشنهاد شده، شکل (۴) توسط محقق ساخته شد.

یکسری استوانه‌های فولادی توپر به ابعاد 4 cm طول و 1 cm قطر، برای چسباندن یک قاعده آنها به سطح پوشش دار نمونه آزمایشی و قاعده دیگر آنها به منظور اتصال به بازوی متحرک دستگاه، ماشینکاری شدند. برای اطمینان از چسبندگی قوی و مطمئن، سطح صاف قاعده استوانه‌های یاد شده که در تماس با نمونه‌ها بودند، قبل از چسباندن بر روی پوشش توسط عملیات سنبلاست، سنباده‌زنی و چربی‌زدایی با استن، آماده‌سازی شدند. www.SID.ir

شده لایه پوششی از زمینه گردیدند، سپس نیروی مربوط به وزنه ها و نیروی سایشی که دستگاه نشان می داد، هر دو باهم ثبت شدند. به منظور آنکه نشان داده شود که لایه پوششی بدون خراش یا با تخریب زمینه، از سطح جدا می شود، عکس های میکروسکوپ الکترونی (SEM) از نواحی جدایش و اطراف آن تهیه گردیدند، شکل (۹).

نتایج و بحث

در ادامه، نتایج هرآزمایش به تفکیک مورد بحث و بررسی قرار می گیرند.

برش های متقطع پوشش و نوار چسب. به طور کلی در یک قطعه پوشش داده شده تخریب یا جدایش در ضعیفترین منطقه رخ می دهد. نتایج بدست آمده از آزمایش ها نشان دهنده جدایش در مناطق مختلف نمونه ها بودند. این مناطق در توده مواد پوششی، زمینه و چسب و یا در فصل مشترک آنها مشاهده شدند:

الف- جدایش بین نوار چسب و لایه پوششی، در نمونه هایی مانند فیلم پلی اتیلن با وزن مخصوص پائین (LDPE) با چاپی یکنواخت از مرکب هواخشک، و ورق های فولاد گالوانیزه با پوششی از خانواده رزین های پایه اپوکسی مشاهده شدند، زیرا قدرت چسبندگی اپوکسی رزین به پلی اتیلن و یا فولاد، قوی تر از چسبندگی نوار چسب به پلی اتیلن می باشد. زاویه ها و شکل برش، اندازه های مختلف چارخانه های بریده شده و جهت برداشتن نوار چسب تأثیر چندانی بر نتایج نداشتند.

ب- جدایش در توده لایه پوششی، در پوشش هایی که به طور کامل خشک یا سخت نشده، و یا دارای درصد بالائی از دانه های پرکننده، رنگی و غیره

مورد استفاده قرار گرفت. برای انجام این آزمایش از دو نمونه پوشش دار به ابعاد $4 \times 2 \text{ cm}$ استفاده گردید به طوریکه دو سطح پوشش دار با چسب قطره ای به هم چسبانده شدند.

خراش - جدایش برشی. به خاطر عدم دستیابی به دستگاه مربوطه این روش انجام نگرفت. Jardret و همکاران او [17] بررسی های جدیدی انجام داده اند که برای مطالعه در مورد روش یاد شده می توان به مقاله آنها مراجعه نمود.

روش جدید ارزیابی قدرت چسبندگی -

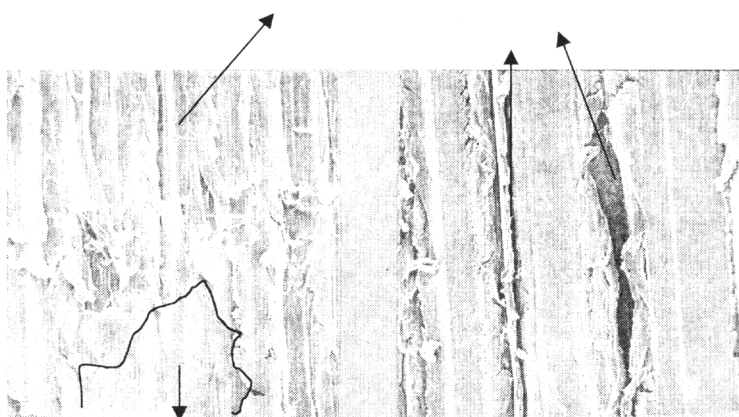
جدایش سایشی

براساس آزمایش جدایش سایشی و نیز مناسب برای استفاده در دستگاه کشش افقی (تنسومتر هونسفیلد) دستگاه جدیدی طراحی و ساخته شد.

نمونه های مورد نیاز در دستگاه فوق در اشکال (نوار، مثلث و پله ای) و ابعاد مختلف از نمونه اصلی بریده شدند. نوارهای $1 \times 10 \text{ cm}^2$ ، مناسب ترین اندازه ها تشخیص داده شدند شکل (۸).

یک سر نمونه به بازوی ساکن و سر دیگر در داخل قسمت دیگر دستگاه که به بازوی متحرک متصل بود، جا سازی شد، به طوریکه سنباده کاغذی گردید 180° به صورت نوار پهن، بین قطعه اعمال کننده نیروی عمودی و سطح پوشش دار نمونه، قرار می گرفت. مادامی که بازوی متحرک دستگاه قطعه اعمال کننده نیرو و سنباده زیر آن را که در تماس با سطح لایه پوششی بود، با سرعت 50 mm/min می کشید، وزنه ها بر روی قطعه اعمال کننده نیرو بتدریج اضافه می شدند، تا جایی که خراش های ایجاد شده در سطح لایه پوششی دار نمونه تبدیل به قطعات (لخته ها) جدا

خرانش های ایجاد شده پس از سایش سنباده تحت فشار بر روی لایه پوششی



جدایش لایه پوششی به صورت لخته ای از زمینه

شکل ۹ عکس های میکروسکوپ الکترونی روشنی (SEM) از نمونه ها با بزرگ نمایی ۱۸۰ برابر پس از آزمایش جدایش سایشی

فصل مشترک و کناره ها، محقق در انجام این آزمایش، نتوانست تأثیر عواملی چون جهت برداشتن نوار چسب، زاویه های متفاوت در برش های لوزی شکل و یا تعداد چارخانه ها را، در درجه بندی کیفیت بررسی و نشان دهد.

د- جدایش در توده زمینه، در نمونه های آزمایشی چون مقوا گلاسه یا مقوا با پوشش پلیمری مانند: پی وی سی امولسیون (EPVC)، ملاحظه گردید. به علت ضعیفتر بودن زمینه نسبت به لایه پوششی و چسبندگی آن در فصل مشترک، بررسی تأثیر عواملی چون زاویه های متفاوت برش، جهت برداشتن چسب و غیره که قبل از عنوان شدند، امکان پذیر نشد. مشاهدات نشان می دهند: با کوچک تر شدن زاویه های برش مساحت سطح لایه های پوششی جدا شده از زمینه و تعداد چارخانه های بدون پوشش بیشتر می شوند. از طرف دیگر هرچه زاویه برش θ کوچک تر می گردد، مساحت سطح چهارخانه ها، A، طبق رابطه $A = a^2 \frac{1}{\sin \theta}$ افزایش می یابد. در این رابطه a فاصله بین تیغه های برش می باشد، شکل (۷).

بودند پلی اتیلن چاپ شده، مشاهده گردید. در این موارد بریدن و چارخانه نمودن لایه پوششی تأثیری بر میزان جدایش پوشش از زمینه نداشتند و پوشش بدون برش جدا و باقی مانده آن به وضوح در سطح زمینه دیده شد.

ج- جدایش در فصل مشترک لایه پوششی و سطح زمینه، در مناطقی که چسبندگی نوار چسب و لایه پوششی قوی تر از نیروی چسبندگی در فصل مشترک لایه پوششی و زمینه بود، رخ داد. مشاهده شد هرچه وسعت و تعداد چهارخانه ها بدون پوشش بیشتر باشد کیفیت نسبی چسبندگی پوشش به زمینه پایین تر است. برای درجه بندی کیفیت از جدول ارائه شده در استاندارد ASTM [4] استفاده گردید. جدایش توده ای، در نمونه های نیکه دارای کمترین درصد رزین پایه (بیشترین درصد دانه های پرکننده یا رنگی) در فرمول لایه پوششی بودند، بدست آمد، شکل (۷). در درصد های بالاتر رزین پایه در فرمول لایه پوششی، در مناطقی که عوامل سخت کننده، مانند نور یا گرمای کافی باسانی به فصل مشترک و یا کناره های پوشش و سطح زمینه رسیده بودند، تخریب یا جدایش مشاهده نشد. از این رو، به دلیل بالا بودن قدرت چسبندگی در

زیرا استوانه‌های توپر بر روی نمونه بزرگ اصلی، نخست در جاهای مناسب چسبانده، سپس بریده و در دستگاه کشش جاسازی شدند.

مشاهدات آزمایشگاهی نشاندهنده جدایش کامل در فصل مشترک پوشش و زمینه و یا باخسی از آن می‌باشد، شکل (۱۰).

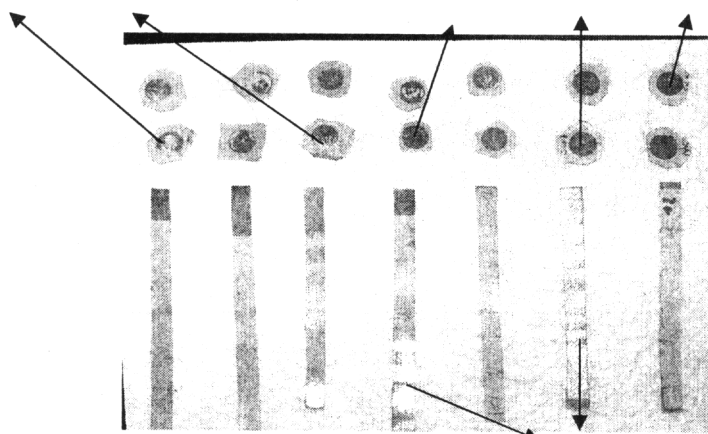
تغییرات نیروی کشش بر واحد سطح نمونه‌ها با افزایش مقدار رزین‌پایه در لایه پوششی در نمودار شکل (۱۱) ارائه شده و حاکمی از آن است که با بالا رفتن درصد رزین‌پایه (یا کاهش پرکنده‌ها)، کیفیت چسبندگی افزایش می‌یابد، و چهشی در حدود ۶۵ درصد (نسبت رزین‌پایه به فرمول اولیه پوشش) از خود نشان می‌دهد.

از آنجا که تمامی سطح لایه پوششی (جز نمونه‌های با پوشش رزین‌پایه پائین)، از زمینه جدا نشدن، بنابراین نیروهای اندازه‌گیری شده نمی‌توانند مستقیماً بیانگر قدرت چسبندگی در نمونه‌ها باشند. ۱- با رجوع به آزمایش برش‌های متقطع و

نتیجه آنکه با انجام این روش پیشنهادی می‌توان گستره درجه‌بندی کیفی استاندارد [۸] را افزایش داد، و یک روش تقریباً کمی را ارائه نمود.

جدایش کششی. بیشتر آزمایش‌ها بر روی نمونه‌های با زمینه پلی‌اتیلن با وزن مخصوص بالا (HDPE) و پوشش رزین‌پایه اپوکسی انجام شدند. به لحاظ پائین بودن انرژی آزاد سطحی پلی‌اتیلن ($25\text{--}31 \text{ mJ/m}$) [۱۸]، سطح قطعات استوانه‌ای آماده شده، به وسیله چسب به سطح بدون پوشش پلی‌اتیلن چسبیده نمی‌شدند تا بتوان عمل کشش و جدایش را توسط دستگاه انجام داد. با استفاده از فک طراحی شده و ساخته شده جدید در این تحقیق که به طور مکانیکی و از بالا زمینه را در خود محکم می‌گرفت، شکل (۴)، حدود بیش از 150 آزمایش انجام پذیرفت. موضوع قابل توجه در اینجا، سرعت بسیار بالای آماده‌سازی نمونه‌های آزمایشی برای اتصال به دستگاه کشش بود.

باقیمانده لایه پوششی در جدایش ناقص



نمونه‌هایی از جدایش کامل در آزمایش جدایش کششی

(الف)

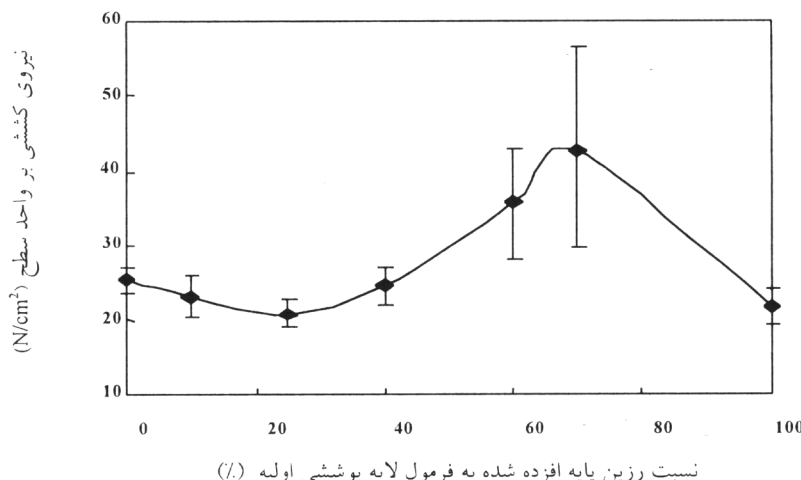
نمونه‌هایی از جدایش کامل در آزمایش جدایش سایشی

(ب)

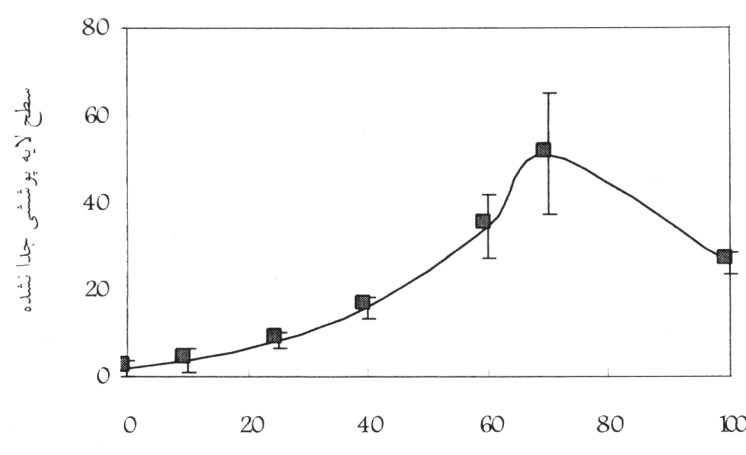
شکل ۱۰ نمونه‌های حاصله پس از انجام آزمایش‌های؛ (الف)، جدایش کششی؛ (ب)، جدایش سایشی
www.SID.ir

رابطه با افزایش درصد رزین پایه در شکل‌های (۱۱) و (۱۲) و هماهنگی (تشابه تقریبی) آنها، شاید بتوان این گونه نتیجه‌گیری کرد که می‌توان آزمایش جدایش کششی را به عنوان یک آزمایش کیفی-کمی از ارزیابی قدرت چسبندگی به حساب آورد.

نوارچسب، که درصد مساحت سطح لایه پوششی جدادشده را یک معیار کیفی-کمی برای قدرت چسبندگی درنظر می‌گیرد و همچنین، با مقایسه منحنی‌های تغییرات درصد مساحت سطح لایه پوششی جدانشده و تغییرات نیروی کششی بر واحد سطح در



شکل ۱۱ منحنی تغییرات نیروی کششی بر واحد سطح با نسبت رزین‌پایه افزوده شده به فرمول لایه پوششی اولیه (%)



شکل ۱۲ تغییرات درصد سطح لایه پوششی جدا نشده، با افزایش رزین در فرمول اولیه لایه پوششی

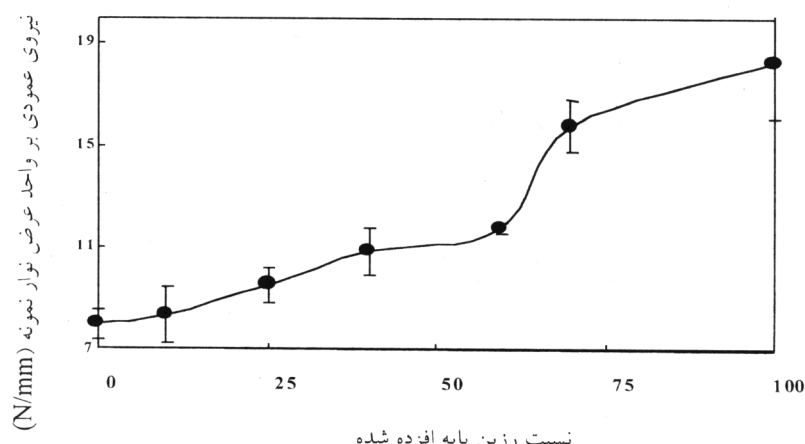
فرمول اولیه، مانند نتایج آزمایش‌های قبلی، در شکل‌های (۱۱) و (۱۲) مشاهده می‌شود. ولی این هماهنگی در محدوده ۱۰۰ درصد رزین پایه افزوده شده به فرمول اولیه وجود ندارد. به نظر محقق با بالارفتن درصد رزین و درنتیجه افزایش ضریب انقباض در لایه پوششی در زمان سخت شدن، در بعضی از نواحی زمینه، که امکان وجود عدم تماس کامل پوشش با زمینه به طور یکنواخت می‌باشد، شکل (۱۴)، از لایه پوششی پل‌های میکروسکوپی ایجاد می‌شوند. در این حالت جدایش در آزمایش جدایش کششی کامل انجام نمی‌گیرد و بخشی از پوشش بر روی زمینه باقی می‌ماند. از این‌رو ممکن است اختلافات فاحشی در نتایج بدست آمده مشاهده شود. بنابراین، به کارگیری آزمایش جدایش کششی در این شرایط شاید روش دلخواهی نباشد، مگر آنکه تعداد نمونه‌های مورد آزمون را به طور چشمگیری افزایش داد و میانگین آن‌ها را اعلام نمود. در این تحقیق تعداد نمونه‌ها برای هر مورد حداقل ۲۷ و برای دو مورد ۷۰ و ۱۰۰ درصد رزین افزوده شده به فرمول اولیه، ۹ عدد بودند.

جدایش برشی. در محل اتصال در سطح لایه پوششی که به وسیله چسب بهم چسبیده شده بودند، جدایش رخ داد. دلایل عدم دستیابی به نتایج قابل استفاده در این آزمایش را شاید بتوان به عواملی از جمله: ۱- وجود قفل مکانیکی در فصل مشترک لایه پوششی و سطح زمینه، ۲- نازکی لایه پوششی μm ۱۰ و ۳- پائین بودن خواص برشی در چسب به کاررفته شده (در چسباندن سطوح لایه پوششی نمونه‌ها به هم دیگر) نسبت داد.

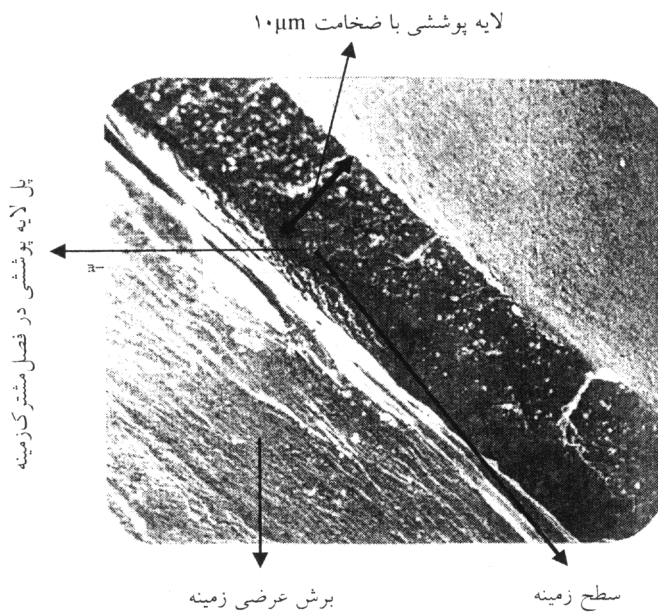
روش جدید ارزیابی قدرت چسبندگی: جدایش سایشی

در واقع جدایش، پس از شروع حرکت ثابت زمینه در اثر سایش و ایجاد قفل مکانیکی قوی، در محل فصل مشترک لایه پوششی و سنباده، تحت نیروی عمودی فشار وزنه‌ها رخ می‌دهد، شکل (۶). از آنجا که فصل مشترک مزبور یک خط راست می‌باشد. نتایج بدست آمده تحت عنوان مقدار نیرو (وزنه‌ها) بر واحد خط تماس ثبت گردیده‌اند، شکل (۱۳).

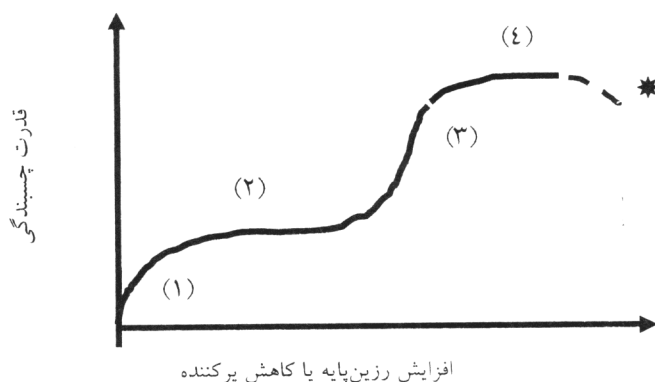
همانگونه که انتظار می‌رود، یک جهش قابل توجه در محدوده ۶۵ درصد نسبت رزین پایه افزوده شده به



شکل ۱۳ منحنی تغییرات نیروی عمودی وارد بر واحد خط تماس استوانه فشاردهنده بر نمونه آزمایشی در دستگاه سایش به منظور جدا نمودن لایه پوششی، در اثر افزایش مقدار رزین پایه (یا کاهش مقدار پرکننده‌ها) در فرمول اولیه لایه پوششی.



شکل ۱۴ تصویر میکروسکوپی (SEM) فصل مشترک لایه پوششی و زمینه و پل میکروسکوپی (منطقه بدون تماس پوشش با زمینه). بزرگنمایی: ۲۰۰۰ برابر



شکل ۱۵ نوع جدایش در نواحی مختلف منحنی تغییرات قدرت چسبندگی با افزایش رزین در فرمول لایه پوششی.

(۱)- جدایش در توده پوششی: عدم وجود رزین کافی برای خیس کردن دانه های پرکننده

(۲)- جدایش بین پوشش و زمینه: یا سطح زمینه کاملا خیس نشده یا انرژی کششی کافی وجود ندارد.

(۳) جدایش در فصل مشترک پوشش و زمینه: سطح در حال خیس شدن کامل و افزایش پوندهای اتصال چسبندگی قوی .

(۴) جدایش در توده پوشش یا در فصل مشترک : به خواص مکانیکی بستگی پوشش دارد.

* ممکن است در ضربی استحکام لایه پوششی در اثر افزایش رزین پایه کاهش بوجود آید و منحنی به طرف پایین گرایش پیدا کند و جدایش در توده لایه پوششی رخ دهد.
www.SID.ir

موثر بودن این روش در ارزیابی میزان چسبندگی در کیفیت‌های پائین‌تر پوشش‌ها را نشان می‌دهد.

۲- نتایج امیدوارکننده آزمایش بالا انگیزه اصلی محقق برای پیشنهاد نمودن انجام آزمایش جدید، یا اعمال تغییرات در آزمایش جاری می‌باشد؛ هر چند در باره دلایل علمی و یا مشاهدات تجربی تأثیر عواملی چون؛ سطح جدایش، ضخامت لایه پوششی، اندازه زوایه برش، جهت و زاویه برداشت نوارچسب و غیره، بررسی‌های بیشتری باید صورت پذیرد. بنابراین، اظهار نظر در مورد امکان تبدیل نمودن حالت کیفی آزمایش به کمی در این مرحله زود می‌باشد.

۳- در آزمایش جدایش کششی (طراحی شده جدید)، از آنجا که در نمونه‌های آزمایشی، چسبندگی در فصل مشترک لایه پوششی و زمینه یکنواخت نبود و جدایش پوشش به طور کامل انجام نگرفت، اندازه‌گیری مستقیم قدرت چسبندگی امکان نداشت. در عین حال، هماهنگی موجود در نتایج نیروی جدایش و مساحت سطح جدا نشده پوشش، استفاده از آزمایش فوق به عنوان یک روش آزمایشی کمی را امکان پذیر می‌نماید.

۴- روش پیشنهادی جدید "جدایش برشی" را می‌توان به عنوان یک روش کمی برای ارزشیابی قدرت - چسبندگی مورد استفاده قرارداد. در این روش، اگر چه میزان قدرت چسبندگی را مستقیماً ارائه نمی‌دهد، ولی با آن رابطه مستقیم دارد.

آزمایش فوق می‌تواند برای اندازه‌گیری و مقایسه قدرت چسبندگی انواع پوشش‌ها بر روی زمینه‌های مختلف، (به) ویژه آن دسته که چسبندگی غیر یکنواخت در سطح میکروسکوپی دارند، مفید واقع شود. در نهایت در این آزمایش روشی سریع و نسبتاً دقیقی را معرفی می‌نماید.

در آزمایش جدید جدایش سایشی، وجود اینگونه نواقص (پل در لایه پوششی)، درنتایج بدست آمده تأثیر چندانی نمی‌گذارد. زیرا ماهیت جدایش در این آزمایش برشی می‌باشد، و پل‌های میکروسکوپی در لایه پوششی نمی‌توانند به عنوان اهرم ایجاد ضعف عمل نمایند. بنابراین، در آزمایش یاد شده اگرچه نمی‌توان مستقیماً میزان قدرت چسبندگی را اندازه‌گیری کرد، ولی شاید بتوان آنرا به عنوان یک روش جدید معتبر کمی، مقایسه‌ای و مرتبط با قدرت چسبندگی معرفی کرد و به کار گرفت.

منحنی تغییرات قدرت چسبندگی (به صورت توجیهی) با افزایش رزین پایه در شکل (۱۵)، نشان داده شده است و تشابه ناحیه ۲ این منحنی با منحنی‌های شکل‌های (۱۱)، (۱۲) و (۱۳) که از نتایج آزمایش‌های جدایش کششی و جدایش سایشی بدست آمده، دلایل وجود تغییرات ناگهانی را در محدوده ۶۵ درصد نسبت افزایش رزین پایه به فرمول اولیه را ممکن است توجیه و تفسیر نماید. یعنی در این ناحیه با بالا رفتن میزان خیس‌کنندگی (یا مقدار انرژی کششی) سطح زمینه توسط رزین پایه، تعداد پیوندهای اتصال (یا قدرت چسبندگی) در فصل مشترک، در حال افزایش می‌باشد.

نتیجه‌گیری

- ۱- در روش پیشنهادی جدید، "برش‌های متقطع و نوارچسب"، نتایج آزمایش‌های متعدد بر روی نمونه‌های گوناگون بیانگر عدم کارایی این روش برای پوشش‌های با قدرت چسبندگی قوی و یا ضعیف می‌باشد. در عین حال وجود سطح جدایش بیشتر پوشش در نوک زوایای تندر،

مراجع

1. Swaraj Paul, J. "Physical – Chemical Intentional of Paint film Adhesion ", *J. of Polymer Coating*, Vol. 54, No.642., (1982).
2. John Shield, "Adhesion Handbook", 3rd ed. Butterworth & Co. Ltd. (1984).
3. S. J. Bull, and D. S. Rickerby, "Handbook of Surface Engineering," London, Blakie, (1990).
4. ASTM 27 (Tape-Test D3359-78).
5. D. Jink, H. Brown, and D. Buxton, "A Variable Radius Roll Adhesion Test (VaRRAT) Suitable for Measuring The Adhesion of Paint toMetal," *J. Coating Technology*, Vol. 74, No. 926, p. 49-61,(2002)
6. ASTM (Tensile D424-43).
7. ASTM (Shear D1002–72).
8. K. Holmberg, and A. Mathews, "Coating Tribology Series 28", ed. by D. Dowson. Elsevier, p.274-283.
9. ASTM (Scrape D2197-98), (1998).
10. P. C. Jindol, D. T. Quinto, and G. J. Wolfe, "Thin Solid Films", p. 151, (1987)
11. F. Garbassi, M. Morra, and E. Occhiello, "Polymer Surfaces", *J. Wiley, England*, (2000).
12. S. B. Hoff, "Screen Printing", Delmar Publishers (ITP)", (1997).
13. J. Seguroda, "A Comparative Kinetic Study of Commercial Photoinitiators for UV/Visible Curable System. In Radcure Coating and Inks (Curing Performance)", ed. by Oil & Colour Chemist Association. (1998).
14. J. V. Koleske, "Radiation Curing of Coatings", ASTM (International), (2002).
15. A. J. Bean., R. Bassemir, "UV Curing of Printing Inks, UV Curing", Science and Technology, (1979).
16. S. Kessel, "UV Curable Screen Inks, in Chemistry & Technology of UV/EB Formulation for Coating, Ink & Paint", ed. by P. K. T. Oldring, J. Wiley, (1997).
17. V. Jardret, B. N. Lucas, and W. Oliver, "ScratchDurability of Automotive Clear Coatings: A Quantative, Reliable and Robust Methodology", *J. Coating Technology*, Vol, 2, No. 907, p.79-88, (2000).
18. A.W. Adamson, and A.P. Gast," Physical Chemistry of Surfaces," 6th Edn., J. Wiley, (1997).